

Pub. Mat UAB  
Nº 19 Maig 1980  
Actas II Congreso de Ecuaciones Diferenciales y  
Aplicaciones -Valldoreix, Mayo 1979.

DOS EJEMPLOS DE SISTEMAS DE REACCION-DIFUSION :

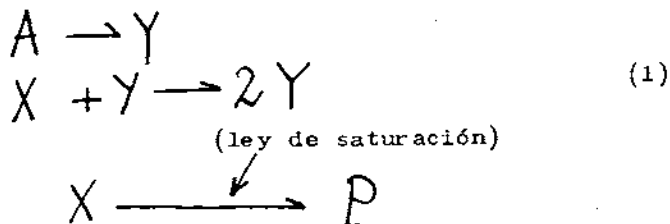
(i) ESTRUCTURAS LOCALIZADAS y (ii) MODELO DE  
HUTCHINSON ( DE RETARDO TEMPORAL ) CON DIFUSION

L.L. BONILLA y M.G. VELARDE  
Departamento de Física de Fluidos  
U.A.M., Cantoblanco (Madrid)

(i) Estructuras disipativas localizadas en un modelo  
de reacción-difusión

### 1. INTRODUCCION

En un artículo reciente (Bonilla y Velarde, 1979a)  
hemos estudiado las estructuras disipativas globales que  
se originaban en un proceso de reacción-difusión cuya mo  
delización es la siguiente:



Suponiendo que el coeficiente de difusión de A es muchísimo mayor que los demás se puede ver que, con condiciones de contorno de Dirichlet en los extremos del reactor, el estado de equilibrio bifurca hacia soluciones estacionarias y periódicas que se extienden a todo el reactor. Aquí nos ocupamos del caso, algo más realista, en que el coeficiente de difusión de A, aún siendo mucho mayor que el de X y el de Y, no es infinitamente mayor que ellos. Entonces el sistema de ecuaciones correspondiente al esquema reaccional (1) es con  $\theta = D_x/D_y; D = D_y$

$$0 = -A + D_A \frac{\partial^2 A}{\partial r^2} \quad (2.1)$$

$$\frac{\partial X}{\partial t} = XY - \frac{X}{1+qX} + \theta D \frac{\partial^2 X}{\partial r^2} \quad (2.2)$$

$$\frac{\partial Y}{\partial t} = A - XY + D \frac{\partial^2 Y}{\partial r^2} \quad (2.3)$$

con las siguientes condiciones de contorno (Dirichlet)

$$A(0) = A(1) = \bar{A} \quad (3.1)$$

$$X(0,t) = X(1,t) = \bar{A} / (1 - q\bar{A}) \quad (3.2)$$

$$Y(0,t) = Y(1,t) = 1 - q\bar{A} \quad (3.3)$$

que equivalen a resolver las ecuaciones (2.2), (2.3) con las condiciones de contorno (3.2), (3.3) substituyendo A en ellas por

$$A(r) = \bar{A} \frac{\cosh \frac{r-1/2}{D_A^{1/2}}}{\cosh (2 D_A^{1/2})^{-1}} \quad (4)$$

Nos limitaremos a enunciar los resultados más salientes remitiendo para los detalles a las referencias abajo indicadas.

## 2. RESULTADOS

El sistema de ecuaciones (3) tiene la siguiente solución estacionaria básica (solución trivial).

$$A_0(r) = A(r) \quad (5.1)$$

$$X_0(r) = A(r)/(1 - q A(r)) + O(D) \quad (5.2)$$

$$Y_0(r) = 1 - q A(r) + O(D) \quad (5.3)$$

Un estudio de la estabilidad lineal del estado (5) por el método WKB lineal frente a perturbaciones estacionarias correspondiente a bifurcación a estados estacionarios inhomogéneos arroja los siguientes resultados (Bonilla y Velarde 1979b):

1. Los puntos de retroceso que hay en la línea de estabilidad neutra correspondiente a bifurcación hacia estados estacionarios vienen dados por las raíces del polinomio

$$z(q) = q^4 + \frac{4\theta A - 2}{A} q^3 + \frac{1 - 10\theta A}{A^2} q^2 + \frac{10\theta}{A^2} q + \theta \frac{\theta A - 4}{A^3}$$

cuyos coeficientes son funciones de  $A=A(r)$  (ec.(4)).

2. Sean  $\bar{A} = \max A(r)$ ,  $\underline{A} = \min A(r)$ ,  $A_*$ ,  $A_+$  ( $A_+ < A_*$ ) dos valores entre  $\bar{A}$  y  $\underline{A}$ ; sea  $q_c$  un valor de  $q$  sobre la línea de estabilidad neutra.

3.  $z(q)$  tiene (siempre que  $\theta A < 4$ ) una raíz real negativa y una o tres raíces reales positivas. Considerando  $\theta$  fijo,  $z(q)$  tiene tres raíces reales positivas en el intervalo

$$\underline{A} < A < A_* \quad (7)$$

y una sola junto con dos complejas conjugadas en

$$A_* < A < \bar{A} \quad (8)$$

Si notamos por  $q_1, q_2, q_3$  a las raíces de  $z(q)$  elegidas de modo que

$$0 < q_{T_1}(A) \leq q_{T_2}(A) < q_{T_3}(A) \quad (9)$$

cuando  $A$  está en el intervalo (7), podemos ver que en el intervalo (8) la raíz positiva es  $q_3(A)$ . Las funciones  $q_2(A)$ ,  $q_3(A)$  son decrecientes con  $A$  en todo su intervalo de existencia, mientras que  $q_1(A)$  es decreciente en

$$\underline{A} < A < A_+ \quad (10)$$

y creciente en

$$A_+ < A < A_* \quad (11)$$

4. Para que pertenezca a la línea de estabilidad neutra debe ser

$$q_c < q_3(A)$$

Entonces hay bifurcación a estructura disipativa localizada en un sola región del reactor (Fig. 1.a) si

$$q_2(\underline{A}) < q_c < q_3(\underline{A}) \quad (12)$$

$$(13)$$

$$q_3(\bar{A}) < q_c < q_1(A_+)$$

La estructura disipativa está localizada en tres regiones del reactor estando dos de ellas pegadas a sus extremos (Fig. 1.b) si

$$q_1(\underline{A}) < q_c < q_2(\underline{A}) \quad (14)$$

Y por último la estructura disipativa está localizada en tres regiones interiores del reactor ( sin contacto con sus extremos) (Fig. 1.c) si

$$q_{T_1}(A_*) < q_c < q_{T_1}(\bar{A}) \quad (15)$$

o bien

$$q_{T_1}(A_+) < q_c < q_{T_1}(A_*) \quad (16)$$

El orden de las figuras 1.a-1.c refleja las situaciones que se obtienen cuando  $q_c$  va disminuyendo desde  $q_3(A)$  hasta  $q_1(A_+)$ .

Para la obtención de estos datos resolvimos numéricamente la ecuación  $z(q) = 0$  con los siguientes valores del orden de magnitud apropiado al modelo:

$$\begin{aligned} \bar{A} &= 1.000 \quad , \quad \underline{A} = 0.013 \\ D_A &= 1.0 \times 10^{-2} \quad , \quad D = 5.0 \times 10^{-4} \\ \theta &= 0.1, \dots, 0.9 \end{aligned} \quad (17)$$

#### REFERENCIAS

1. L.L. Bonilla y M.G. Velarde, 1979a, Singular perturbations approach to the limit cycle and global patterns in a nonlinear diffusion-reaction problem with autocatalysis and saturation law, J. Math. Phys. (a aparecer)

2. L.L. Bonilla y M.G. Velarde, 1979b, Localized non-uniform patterns in a diffusion-reaction model with autocatalysis and the Langmuir-Hinshelwood saturation law, J. Math. Phys. (enviado)

(ii) Modelo de Hutchinson (de retardo temporal) con difusión

### 1. INTRODUCCION

Desde no hace mucho tiempo se han venido observando estructuras espaciotemporales en diversos sistemas ecológicos tales como poblaciones de plancton en los mares (Steven y Gloombitza, 1972; Steele, 1974). Un modelo susceptible de reproducir cualitativamente una tal conducta es el siguiente (ecuación de Hutchinson con difusión):

$$\frac{\partial N(x,t)}{\partial t} = r N(x,t) \left[ 1 - \frac{N(x,t-T)}{K} \right] + D \frac{\partial^2 N(x,t)}{\partial x^2} \quad (1)$$

Los resultados conocidos para la ecuación (1) sin difusión ( $D=0$ ) pueden ser resumidos como sigue:

1. La ecuación (1) tiene únicamente dos estados de equilibrio  $N=0$  (siempre inestable) y  $N=K$  (estable o

inestable, según que  $rT$  sea menor o mayor que  $\pi/2$ ).

2. Para  $N > 0$  y  $rT > \pi/2$  hay una corona (annulus) en el plano fase  $\{N(t), N(t-1)\}$  formada por dos trayectorias cerradas (soluciones periódicas de la ecuación sin difusión) una interior a otra, que es global y asintóticamente estable y la región de atracción incluye todas las soluciones que no oscilen rápidamente (en el sentido que los armónicos superiores oscilan rápidamente) (Kaplan y Yorke, 1975).

3. Los resultados numéricos de G.S. Jones (1962) sugieren que las dos soluciones periódicas que constituyen la corona antedicha son la misma: una trayectoria periódica que bifurca del estado de equilibrio con período  $4T$  y amplitud infinitesimal.

## 2. INFLUENCIA DE LA DIFUSION; RESULTADOS

Después de adimensionalizar la ecuación (1) y trasladar  $N$  a  $N-K$ , obtenemos la siguiente ecuación:

$$\frac{\partial^2 N(x,t)}{\partial x^2} - \frac{\partial N(x,t)}{\partial t} - r N(x,t-1) = \alpha N(x,t) N(x,t-1) \quad (2)$$

Tras un análisis de estabilidad lineal y un estudio de perturbaciones singulares (método de las dos escalas, véase por ejemplo Bonilla y Velarde, 1979a) llegamos a los siguientes resultados referentes a la ecuación (2) (Bonilla y Velarde, 1979b).

I.1 Cuando el medio espacial es infinito, la solución trivial de (2) es estable o inestable (de modo oscilatorio) según sea  $0 < r < r_0$ , o bien  $r_0 \leq r$  donde

$$r_0 = a_1 (a_1^2 + c^4)^{1/2} / c \quad \cot a_1 = -a_1 / c^2 \quad (3)$$

$$\pi/2 < a_1 < \pi \quad c > 0$$

I.2 Cuando la no linealidad  $\alpha$  es "finita", tenemos una bifurcación desde la solución trivial a la siguiente solución asintótica

$$\mathcal{N}^0(x, t) \approx \pm \left[ \frac{r - r_0}{r_2} \right]^{1/2} \left[ \frac{-\omega c (w^2 + c^2 - 1) (w^2 + c^2)^{1/2} K r_2^2}{\mu} \right]^{1/2} \cos \left[ 1 + \gamma (r - r_0) \right] \left[ a_1 t + a_1 x / c \right] \quad (4)$$

dicha solución (4) es estable o inestable según sea  $\mu < 0$  o bien  $\mu > 0$ . El coeficiente  $\mu$

$$\mu = (2w^2 + c^2) \operatorname{Re} \Lambda + \omega c (w^2 + c^2 - 1) \operatorname{Im} \Lambda$$

$$\Lambda = -2w^2 c + i 2w^2 \left[ (w^2 + c^2)^{1/2} - w \right] +$$

$$+ \frac{\omega^3}{(\omega^2+c^2)^{1/2}} \left[ 5\omega^4 c + 20\omega^2 c^3 - 4\omega c^4 + c^5 - (10\omega^3 c + 2c^4)(\omega^2+c^2)^{1/2} \right] \quad (5)$$

$$+ i \left( -3\omega^5 - 4\omega^3 c^2 + 2\omega^2 c^3 + 3\omega c^4 - 2c^5 \right) + (3\omega^4 - 10\omega^2 c^2 + 2\omega c^3 - 3c^4)(\omega^2+c^2)^{1/2} \\ \left[ (4\omega^2 + (\omega^2 - c^2)(\omega^2+c^2)^{1/2} \omega + 4\omega^2 c^2 (1 + \omega(\omega^2+c^2)^{1/2})^2)^{-1} \right]$$

es negativo para  $c \rightarrow 0$  y para  $c \rightarrow \infty$ ;  $\omega c = a_1$ .

I.3 Cuando la no linealidad  $\alpha$  es "pequeña" la solución trivial bifurca a

$$\mathcal{N}^0(x, t) \approx \left[ \omega c (\omega^2 + c^2 - 1)(\omega^2 + c^2)^{1/2} r_2 / \mu \right]^{1/2}$$

$$\cos \left\{ \left[ 1 + \gamma (r - r_0) \right] (a_1 t + a_1 x / c) \right\} \quad (6)$$

de modo supercrítico o subcrítico según sea  $\mu < 0$  o  $\mu > 0$ .

II.1 Cuando el medio espacial tiene una longitud finita,  $L$ , e imponemos condiciones de Dirichlet en el contorno, la solución trivial de (2) es estable o inestable (de modo oscilatorio) según el punto  $\frac{-\pi^2}{L^2}$ ,  $-\gamma$  esté por encima o por debajo de la línea (el parámetro  $\beta$  es la frecuencia de la solución periódica en  $r=r_0$ ):

$$a = \beta \cot \beta \quad \beta / \sin \beta = -b \quad \frac{\pi}{2} < \beta < \pi \quad (7)$$

del plano  $a$ ,  $b$ .

II.2 Cuando  $\alpha$  es finita la solución trivial bifurca a

$$N^p(x,t) \approx \left[ 2 \frac{r-r_0}{r_2} (\cos \beta - 1) \frac{r_2}{r_0^2} \frac{k^2}{\operatorname{Re} \lambda} \right]^{1/2} \cos \beta t \left[ 1 + (r-r_0)\theta \right] \operatorname{sen} \frac{\pi x}{L} \quad (8)$$

donde según sea negativo o positivo el parámetro  $\operatorname{Re} \lambda$  en este caso distinto de (5) - (8) es estable o inestable

II.3 Cuando  $\alpha \ll 1$ , la solución trivial bifurca a una onda estacionaria de amplitud finita

$$N^p(x,t) \approx 2 \left[ \frac{2(\cos \beta - 1)r_2}{r_0^2 \operatorname{Re} \lambda} \right]^{1/2} \cos \beta t \left[ 1 + (r-r_0)\theta \right] \operatorname{sen} \frac{\pi x}{L} \quad (9)$$

que es estable o inestable según sea  $\operatorname{Re} \lambda < 0$  o  $\operatorname{Re} \lambda > 0$ .

III.1 Cuando el medio espacial tiene longitud finita e imponemos condiciones de flujo cero (Neumann) en el contorno, la solución trivial es estable o inestable según sea  $r$  menor o mayor que  $\pi/2$ .

III.2 Cuando  $\alpha$  es finita la solución trivial bifurca a la solución periódica homogénea

$$N^p(t) \approx \pm \left[ 12k^2 \frac{r-r_0}{\pi} \right]^{1/2} \cos \left\{ 1 + (r-r_0) \left[ \frac{8}{\pi^2(\pi+2)} + \frac{\pi(\pi-2)}{12(\pi+2)k^2 r_2} \right] \right\} \frac{\pi t}{2}$$

que es asintóticamente estable. (10)

III.3 Cuando  $\alpha \ll 1$ , la solución trivial bifurca a la siguiente solución periódica homogénea asintóticamente estable

$$N^p(t) \approx \left[ \frac{12r_2}{\pi} \right]^{1/2} \cos \left\{ 1 + (r-r_0) \left[ \frac{8}{\pi^2(\pi+2)} + \frac{\pi(\pi-2)}{12(\pi+2)r_2} \right] \right\} \frac{\pi t}{2}$$

(11)

Los parámetros que rigen el comportamiento de este modo juegan los siguientes papeles en relación con la solución trivial de (2):

El retardo  $\underline{T}$  y el ritmo de crecimiento  $\underline{r}$  son desestabilizantes, mientras la difusión es estabilizante tanto si el medio espacial es infinito como si está acotado. En el primer caso la velocidad de la onda viajera,  $\underline{c}$ , es desestabilizante de la solución trivial y en el caso de medio finito y condiciones de Dirichlet, la longitud de la caja,  $L$ , actúa desestabilizando dicha solución trivial.

### 3. APENDICE: METODO DE LAS DOS ESCALAS

Ilustraremos la aplicación del método al caso de condiciones de contorno de flujo cero y no linealidad finita.

Sabemos que cerca del punto de bifurcación hay una gran separación entre dos escalas de tiempo (este es un hecho general en problemas de bifurcación, comprobado incluso experimentalmente): el tiempo propio de la solución asintótica y el tiempo que tarda en decaer a la misma una

cierta condición inicial (Fig. 2 ). En el caso que nos ocupa, la cercanía al punto de bifurcación  $r=r_0$  la mide el parámetro (a determinar)

$$r(\epsilon) = r_0 + \epsilon r_1 + \epsilon^2 r_2 + O(\epsilon^3)$$

y las dos escalas temporales son  $\tilde{t}=t$  (escala de evolución rápida) y  $\tau = [r(\epsilon) - r_0] t$  (escala de evolución lenta). Un desarrollo perturbativo como el siguiente

$$N^p(x, t, \tau; \epsilon) = \epsilon N_1^p(x, t, \tau) + \epsilon^2 N_2^p(x, t, \tau) + \epsilon^3 N_3^p(x, t, \tau) + O(\epsilon^4)$$

conduce a una jerarquía de ecuaciones diferenciales tales que, en el orden más bajo en  $\epsilon$ , la solución será análoga a la solución del problema linealizado pero con las dos constantes de integración dependientes de  $\tau$  y de la condición inicial. Así el límite  $\tau \rightarrow \infty$  nos determina la solución asintótica y su estabilidad.

Hemos de señalar que en el caso que nos ocupa, la condición inicial no es puntual, sino del tipo

$$N^p(x, t) = \phi(x), \quad -1 \leq t < 0$$

pero este hecho no aparece en la teoría puesto que, siguiendo un método análogo al de Bogoliubov-Mitropols

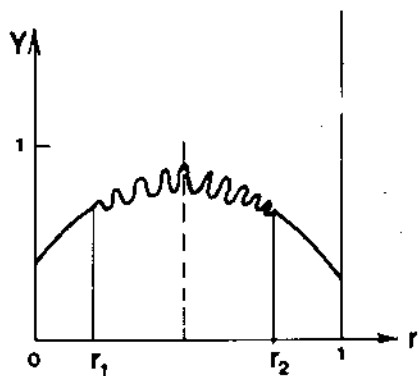
ky (Murray, 1976) las funciones  $a(\tau)$  se desarrollan así

$$a[\tau - (r - r_0)] \approx a(\tau) - (r - r_0)a'(\tau) = a(\tau) + O(\epsilon)$$

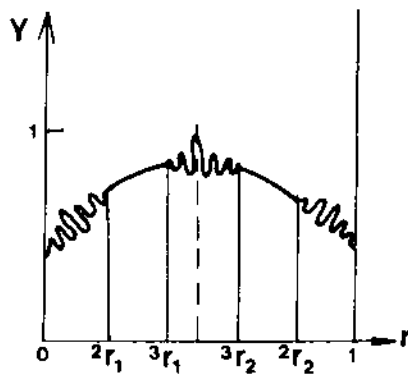
lo que equivale a suponer un tiempo  $\tau$  suficientemente largo y que todas las condiciones iniciales decaen tras él al estado asintótico que corresponda (solución ondulatoria o solución trivial).

#### AGRADECIMIENTOS

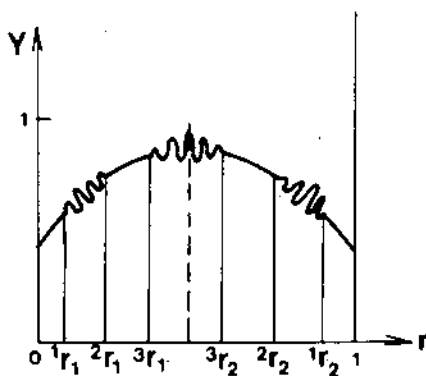
Este trabajo se ha beneficiado de la ayuda económica del Instituto de Estudios Nucleares (Madrid).



(a)



(b)



(c)

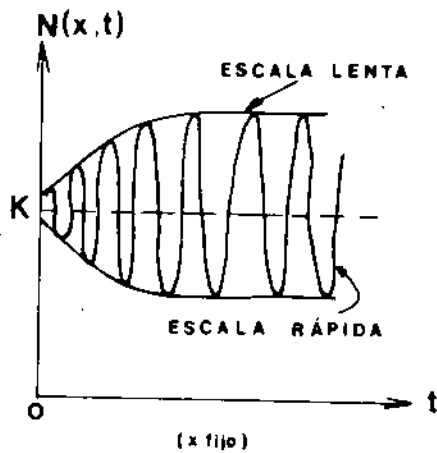


Fig 1

Fig 2

## REFERENCIAS

1. L.L. Bonilla y M.G. Velarde, 1979a. Singular perturbations approach to the limit cycle and global patterns in a nonlinear diffusion-reaction problem with autocatalysis and saturation law. *J. Math. Phys.* (a aparecer).
2. L.L. Bonilla y M.G. Velarde 1979b. *J. Math. Biol.* (en preparación).
3. G.S. Jones, 1962. On the Nonlinear Differential-Difference Equation  $f'(x) = -\alpha f(x-1) \{1 + f(x)\}$ . *J. Math. Anal. Appl.* 4, 440-469.
4. J.L. Kaplan y J.A. Yorke, 1975. On the stability of a periodic solution of a differential delay equation *SIAM. J. Math. Anal.* 6, 2, 269-282.
5. J.D. Murray. Spatial structures in Predator-Prey Communities- a Nonlinear Time-Delay Diffusional Model. *Math. Biosci.* 30, 73-85.
6. J.H. Steele, 1974. Spatial heterogeneity and population stability. *Nature*, 248, 83.
7. D.M. Steven y R. Glombitza, 1972. Oscillatory variation of a Phytoplankton Population in a Tropical Ocean. *Nature*, 237, 105-107.